

[illegible]

Matura

[illegible]

Alignment of HSO47 With HLA/IL-12 β Chains

<u>Molecule</u>	<u>Position</u>	<u>Amino Acid Sequence</u>	<u>Position</u>
Human Hsp47	96	AvlsAEQLR	104
Hu Colligin 2	95	AVLSAEQLR	103
HLA-A2 A*0201	149	AahvAEQLR	157
HLA-A2 A*0204	167	AahvAEQLR	175
HLA-A2 A*0206	175	AahvAEQLR	183
HLA-A2 A*0211	166	AahvAEQLR	174
HLA-A10 alpha	84	AahvAEQLR	92
HLA-Aw 69	150	AahvAEQLR	158
Rat Hsp47	94	AVLSAEkLR	102
Mouse Hsp47	94	AVLSAEkLR	102
Hamster Hsp47	94	AVLSAEkLR	102
Chicken Hsp47	82	AVLSAdkLn	90
Hu IL-12 β -chain	150	AtLSAErvR	158
mouseIL1 2 β -chain	150	AtLSAErvR	158
cat IL-12 β -chain	150	AtLSAEkvR	158
cow IL12 β -chain	150	AlLSAEkvn	158
Consensus HSP		AVLSA(d,e)(k,q)LR	
Consensus HLA		A(v,a)(l,h)(a,v)AEQLR	
Consensus IL-12 β -chain		A(v,l,t)LSAE(q,k,r)(l,v)R	
Overall Consensus		A(v,l,a,t)(l,h)(a,v)A(d,e)(k,q,r)(l,v)R	

FIG. 2

FIG. 3A

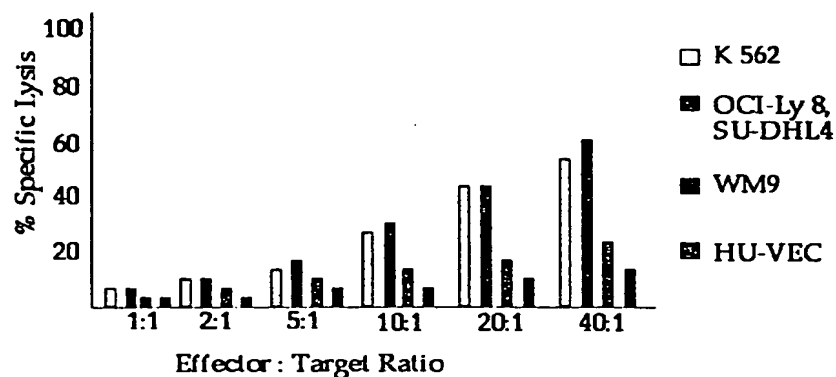


FIG. 3B

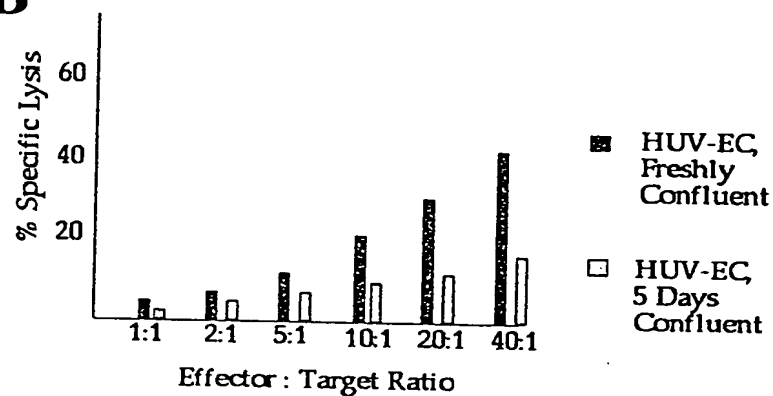
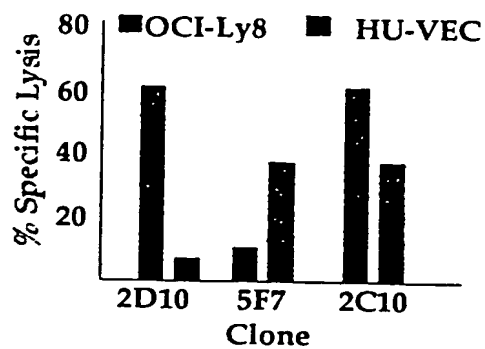


FIG. 3C



Bar graph showing % Specific Lysis (Y-axis, 0 to 60) versus BFA concentration (μM) (X-axis, 0, 2.5, 5, 7.5, 10). The graph compares two cell lines: OCI-Ly8 (black bars) and HUV-EC (gray bars). OCI-Ly8 shows high specific lysis (~55-60%) across all BFA concentrations. HUV-EC shows low specific lysis (~2-9%), which decreases as BFA concentration increases.

BFA [μM]	OCI-Ly8 (% Specific Lysis)	HUV-EC (% Specific Lysis)
0	~58	~26
2.5	~57	~15
5	~58	~9
7.5	~57	~4
10	~55	~2

d21 CIK Effector : Target Ratio 20:1

FIG. 4

66260-66262.60

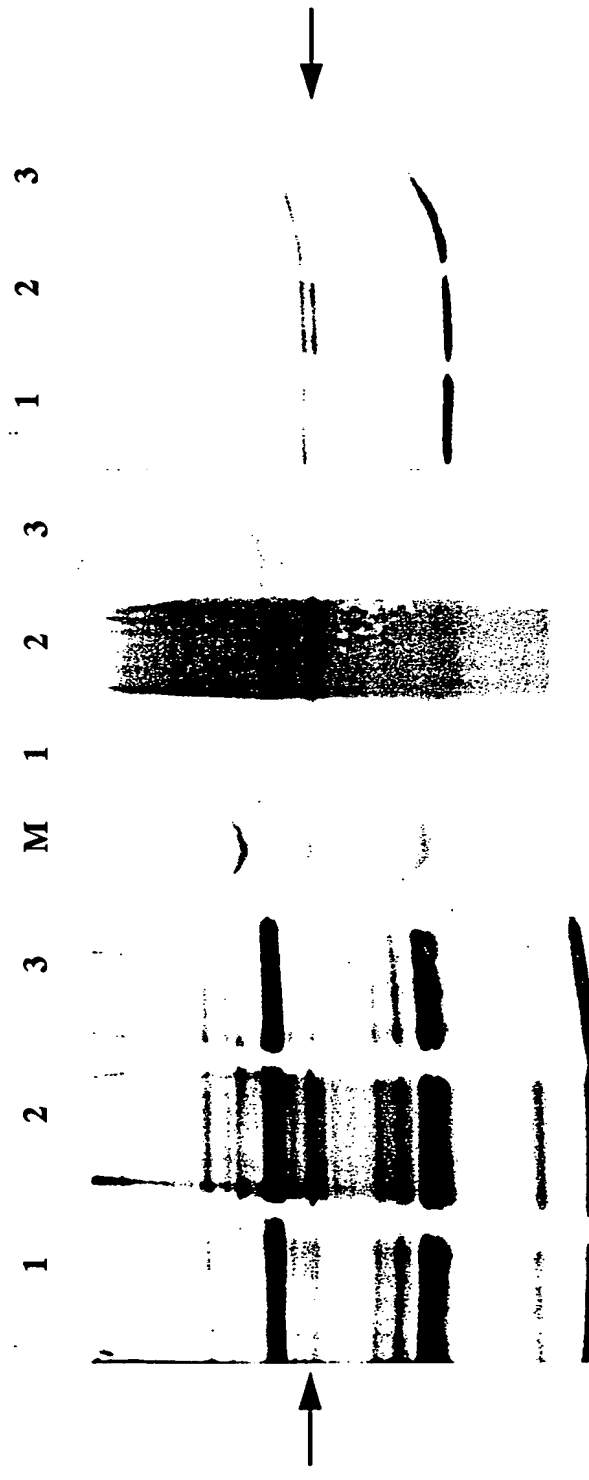


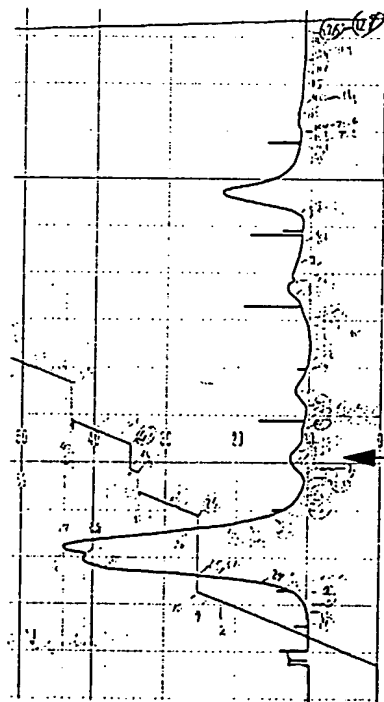
FIG. 5A

FIG. 5B

FIG. 5C

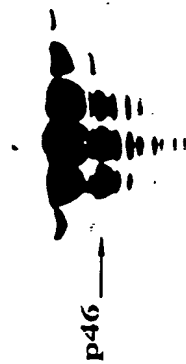
姓名	性别	年龄	籍贯	民族	文化程度	职业	婚姻	子女	备注
王德胜	男	45	山东	汉族	高中	工人	已婚	2	
李国强	男	38	河南	汉族	初中	农民	已婚	1	
张为民	男	52	江苏	汉族	大学	教师	已婚	3	
赵子龙	男	28	四川	汉族	高中	学生	未婚	0	
刘青山	男	60	广东	汉族	小学	退休	已婚	4	
陈永年	男	41	浙江	汉族	初中	工人	已婚	2	
周树人	男	35	湖北	汉族	高中	干部	已婚	1	
吴大伟	男	55	湖南	汉族	大学	教授	已婚	3	
孙少平	男	25	山西	汉族	初中	工人	未婚	0	
郑为民	男	48	陕西	汉族	高中	农民	已婚	2	
冯国强	男	32	河北	汉族	初中	工人	已婚	1	
马子龙	男	58	福建	汉族	小学	退休	已婚	4	
朱永年	男	43	江西	汉族	高中	干部	已婚	2	
周树人	男	37	安徽	汉族	初中	工人	已婚	1	
吴大伟	男	53	广西	汉族	大学	教授	已婚	3	
孙少平	男	27	云南	汉族	高中	学生	未婚	0	
郑为民	男	47	贵州	汉族	初中	工人	已婚	2	
冯国强	男	33	海南	汉族	高中	干部	已婚	1	
马子龙	男	57	宁夏	汉族	小学	退休	已婚	4	
朱永年	男	42	青海	汉族	高中	干部	已婚	2	
周树人	男	36	甘肃	汉族	初中	工人	已婚	1	
吴大伟	男	54	新疆	汉族	大学	教授	已婚	3	
孙少平	男	26	内蒙古	汉族	高中	学生	未婚	0	
郑为民	男	46	吉林	汉族	初中	工人	已婚	2	
冯国强	男	34	辽宁	汉族	高中	干部	已婚	1	
马子龙	男	56	黑龙江	汉族	小学	退休	已婚	4	
朱永年	男	44	山东	汉族	高中	干部	已婚	2	
周树人	男	38	河南	汉族	初中	工人	已婚	1	
吴大伟	男	51	江苏	汉族	大学	教授	已婚	3	
孙少平	男	29	四川	汉族	高中	学生	未婚	0	
郑为民	男	49	广东	汉族	小学	退休	已婚	4	
冯国强	男	40	浙江	汉族	初中	工人	已婚	2	
马子龙	男	61	湖北	汉族	高中	干部	已婚	3	
朱永年	男	45	湖南	汉族	大学	教授	已婚	3	
周树人	男	39	山西	汉族	初中	工人	已婚	1	
吴大伟	男	52	陕西	汉族	高中	农民	已婚	2	
孙少平	男	31	河北	汉族	初中	工人	已婚	1	
郑为民	男	59	福建	汉族	小学	退休	已婚	4	
冯国强	男	41	江西	汉族	高中	干部	已婚	2	
马子龙	男	36	安徽	汉族	初中	工人	已婚	1	
朱永年	男	54	广西	汉族	大学	教授	已婚	3	
周树人	男	28	云南	汉族	高中	学生	未婚	0	
郑为民	男	48	贵州	汉族	初中	工人	已婚	2	
冯国强	男	32	海南	汉族	高中	干部	已婚	1	
马子龙	男	57	宁夏	汉族	小学	退休	已婚	4	
朱永年	男	43	青海	汉族	高中	干部	已婚	2	
周树人	男	37	甘肃	汉族	初中	工人	已婚	1	
吴大伟	男	53	新疆	汉族	大学	教授	已婚	3	
孙少平	男	27	内蒙古	汉族	高中	学生	未婚	0	
郑为民	男	47	吉林	汉族	初中	工人	已婚	2	
冯国强	男	33	辽宁	汉族	高中	干部	已婚	1	
马子龙	男	56	黑龙江	汉族	小学				

FIG. 6A



Specific Elution Of Hsp47

FIG. 6B



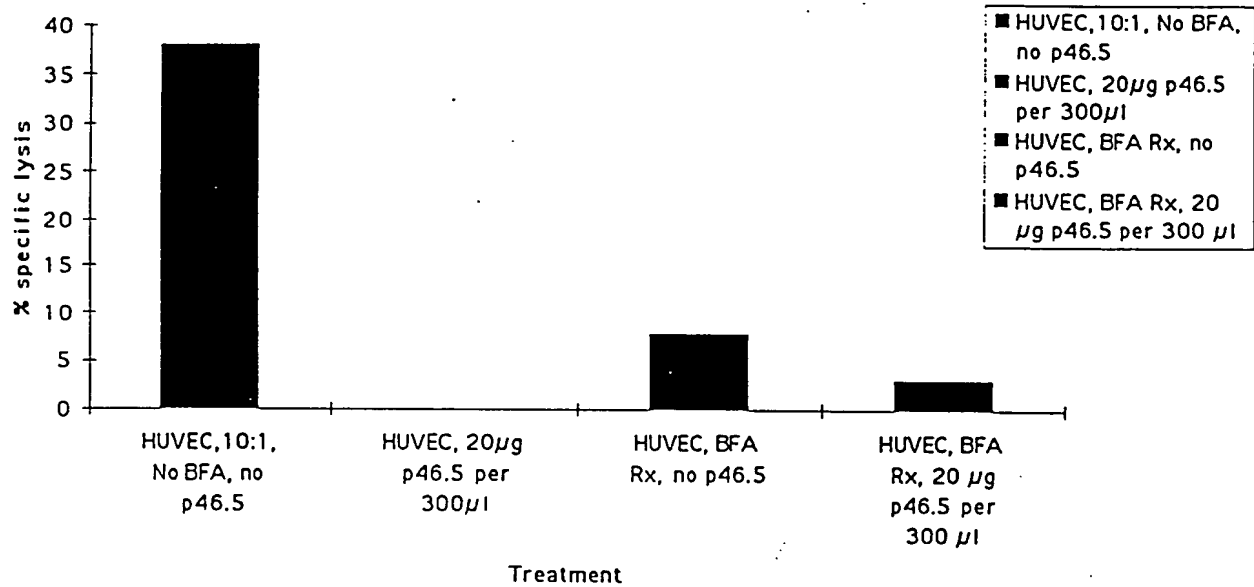


FIG. 7

FIG. 8A

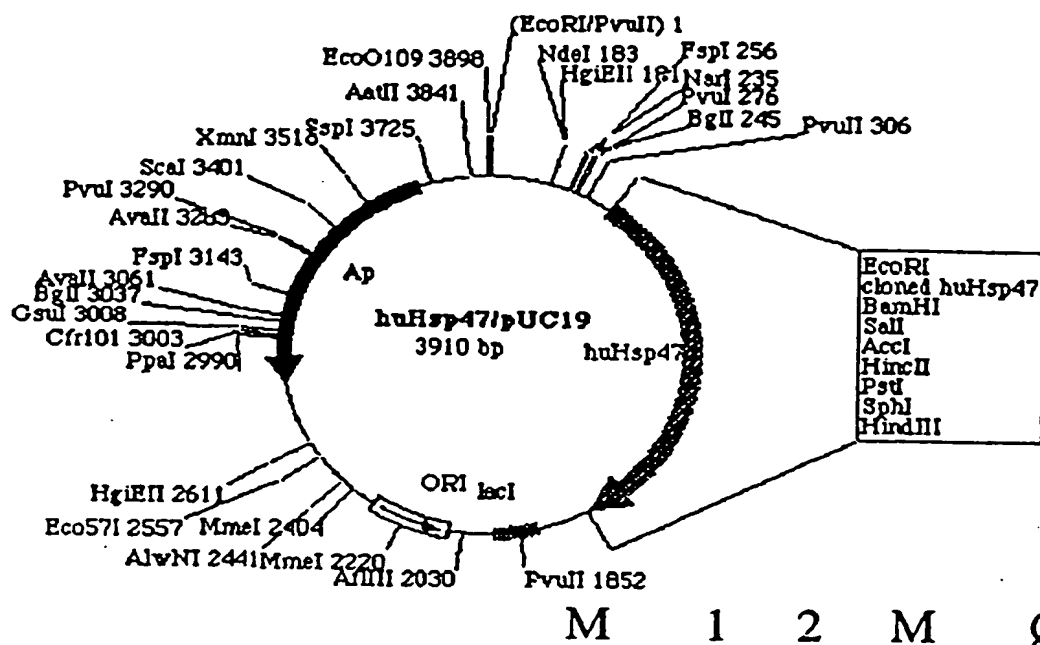
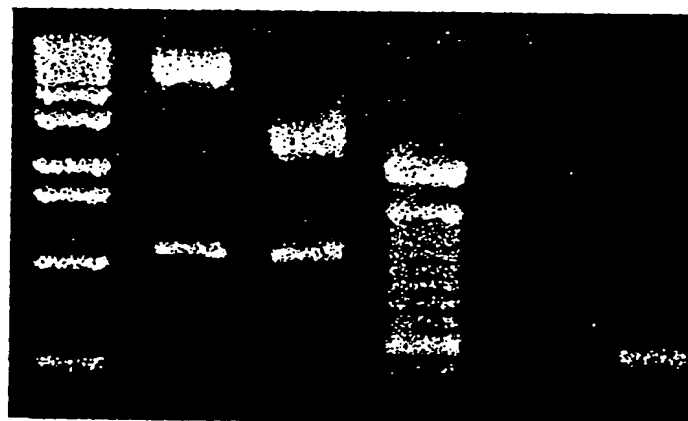


FIG. 8B



Plasmid name: huHsp47/pUC19

Plasmid size: 3910 bp

Constructed by: Ernest-G. Hope

Construction date: 1996

Comments/References: puc 19 based huHsp47 gene cassette derived from 2 partial clones in pCR1000/pGEM via primers (A:5'-ACGTTTGGATCCAGGTGAAGA,3'-GTCCTTGCCAT B:5' GCAATGGCCAAGACCAGGCAGTGGAG,3'ATCTGAATTCCCTATAACTCGTCTCGCA)

Protection From CIK Mediated Lysis Of EC After Incubation With Increasing Concentrations Of Externally Added rhuHsp47 :

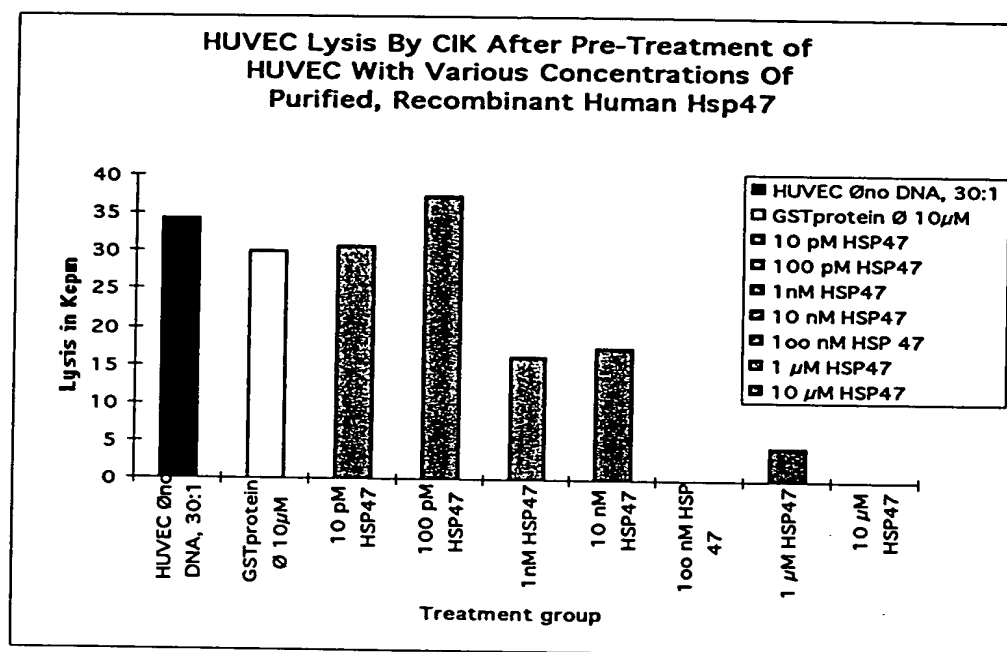


FIG. 9

661220 6602260

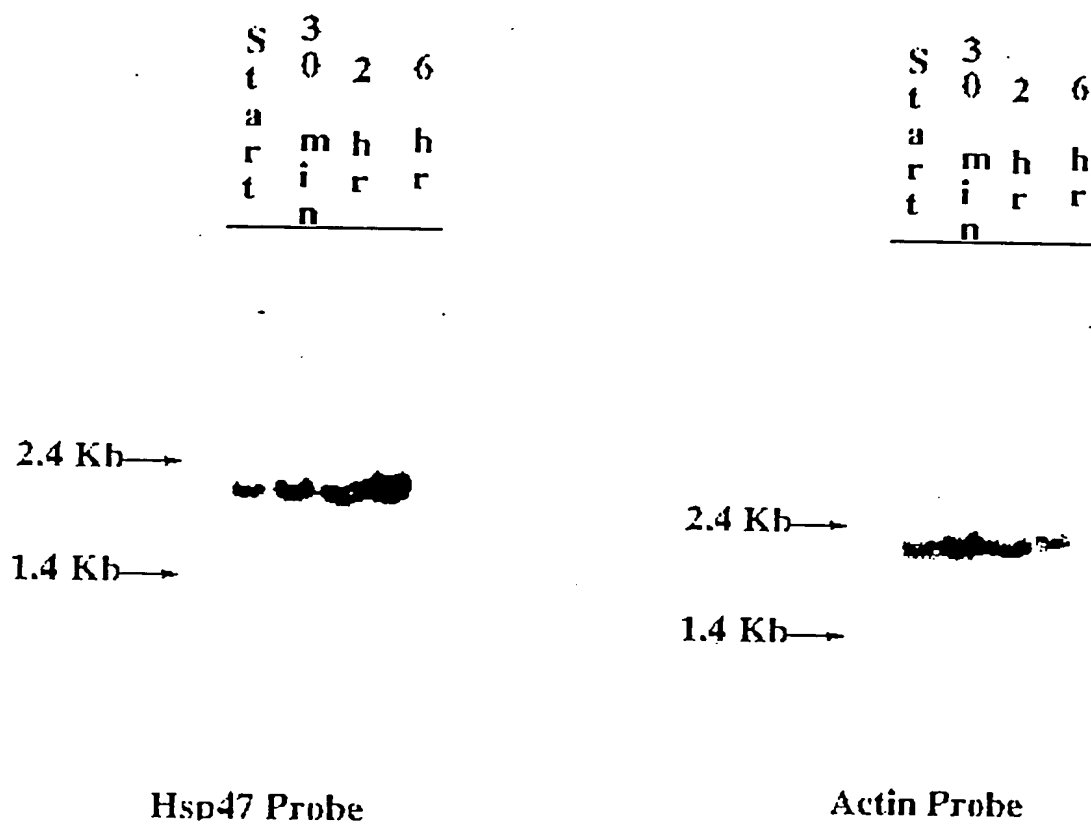


FIG. 10

HUVEC Lysis by CIK in presence of Hsp47/HLA-A2 peptide

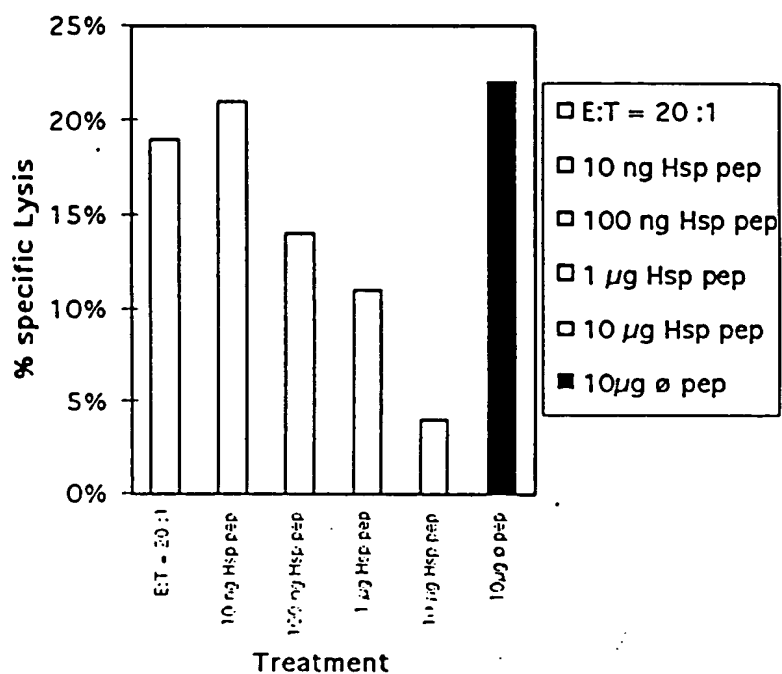
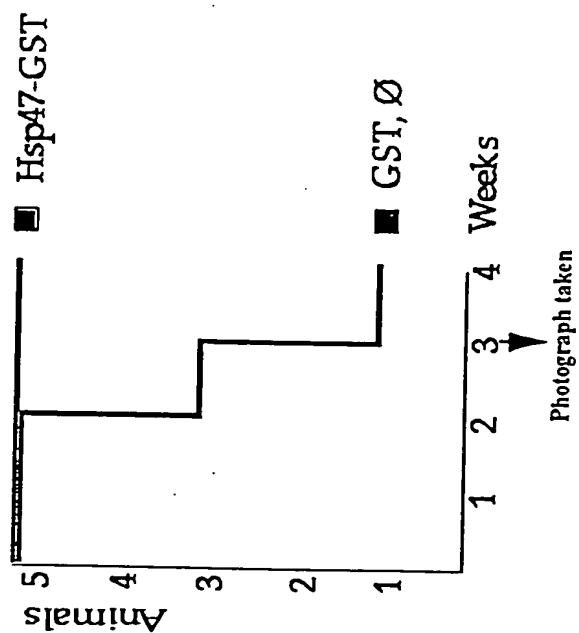


FIG. 12

FIG. 13



Hsp47 Group Control Group

FIG. 14A

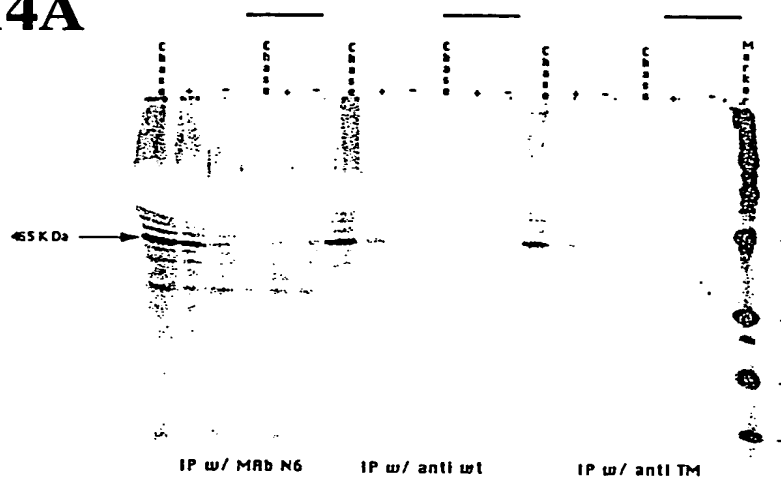


FIG. 14B

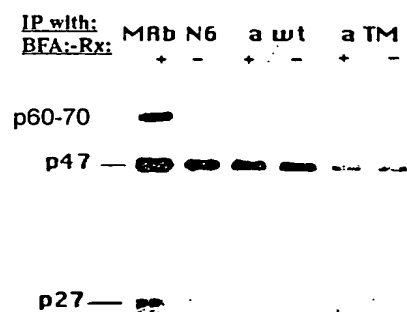


FIG. 15A

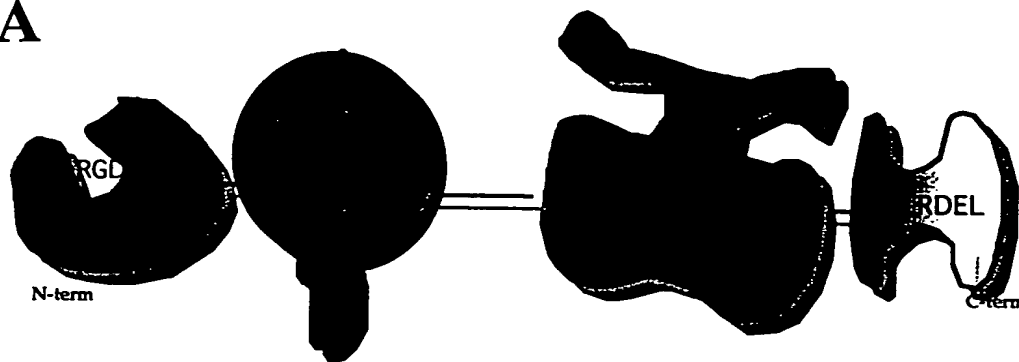


FIG. 15B

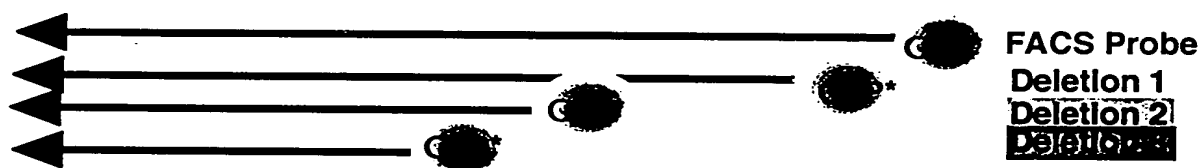


FIG. 15C

